

# WYKRYWANIE NACZYŃ DNA OKA

Mateusz Ksok, 136751  
Marcin Jachymski, 136718

## 1) Zastosowany język programowania i biblioteki

Do wykonania projektu zastosowany został język Python wraz z następującymi bibliotekami:

- scikit-image
- sklearn
- matplotlib
- cv2
- numpy
- pandas

## 2) Opis zastosowanych metod

a. Metoda oparta o przetwarzanie obrazu:

**Preprocessing:**

- 1) Transfer zdjęcia do odcieni szarości
- 2) Zwiększenie kontrastu na zdjęciu – wybranie wartości percentyli z niezerowych elementów tablicy i dopasowanie wartości na ich podstawie

**Wykrywanie krawędzi:**

- 1) Zastosowanie filtru Sobela do wykrycia krawędzi
- 2) Poszerzenie kontrastu na wyjściowym zdjęciu

**Postprocessing:**

- 1) Transfer wyniku przetwarzania do maski binarnej
- 2) Wykorzystanie erozji i dylatacji w celu usunięcia szumów z maski

**Uzasadnienie:**

Wykorzystanie zwiększenia kontrastu w preprocessingu i tuż po wygenerowaniu maski ma na celu zwiększenie różnic pomiędzy konkretnymi punktami na zdjęciu – uwydatnienie kolorów sprawi, że samo zdjęcie będzie o wiele prostsze do przetwarzania na późniejszych etapach. Wybrany filtr Sobela jest wykorzystywany do wykrywania krawędzi na zdjęciach, więc do wyróżniających się na tle reszty obrazu naczyń krwionośnych można go z powodzeniem użyć. Ostatnim etapem jest wykorzystanie erozji i dylatacji (w tej kolejności) aby usunąć nadmiarowe szумы ze zdjęcia.

b. Metoda oparta o sztuczną inteligencję:

- 1) Zdjęcia wykorzystywane do uczenia modelu w trakcie przetwarzania wstępnego poddawane są:
  - konwersji na skalę szarości,
  - normalizacji (sprowadzeniu intensywności pikseli do przedziału (0;1),
  - zwiększeniu kontrastu,

- operacji wykrywania krawędzi przy pomocy filtra Sobela.

2) Następnie obrazy dzielone są na kwadraty o boku ``slice_size``, pobierane z odstępem ``slice_step`` (fragmenty mogą się nakładać). Na podstawie wycinków tworzone są wektory próbek, które składają się z wartości składowych pikseli oraz momentów  $H_u$  obliczonych dla danego fragmentu.

Zdjęcia poddawane klasyfikacji jak i te tworzące zbiór treningowy poddawane są identycznemu przetwarzaniu.

W przypadku zbioru uczącego próbki następnie etykietowane są przez pobranie środkowych pikseli z analogiczne podzielonych masek eksperckich. Tak utworzona ramka danych poddawana jest downsamplingowi w celu wyrównania liczności klas.

3) Do klasyfikacji wykorzystaliśmy las losowy w implementacji z biblioteki scikit-learn. Zmiana parametrów klasyfikatora (`n_estimators`, `min_samples_leaf`, `max_depth`) nie prowadziła do istotnej poprawy, zatem pozostawiliśmy argumenty domyślne.

4) Klasyfikator oceniliśmy za pomocą 5-fold cross validation, otrzymując wyniki accuracy ok. 85%. Inne metryki (sensitivity, specificity) obliczyliśmy przez analizę macierzy pomyłek dla klasyfikacji obrazów spoza zbioru uczącego.

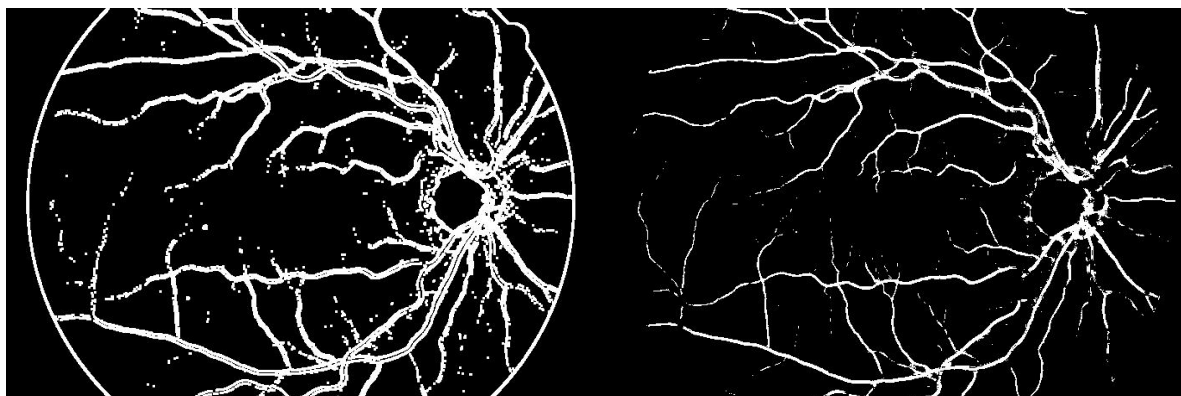
5) Zdecydowaliśmy się na wykorzystanie algorytmu lasu losowego ze względu na jego wydajność (np. w porównaniu do perceptronu wielowarstwowego) oraz łatwość w zastosowaniu. Wydaje się jednak, że to nie algorytm klasyfikacji, lecz wstępne przygotowanie danych miało najistotniejszy wpływ na jakość przewidywania i stanowiłoby najlepsze pole do dalszej optymalizacji. Wyzwaniem w tym problemie okazało się zwłaszcza niezrównoważenie klas decyzyjnych, powodujące niską czułość klasyfikatora, którą jednak udało się poprawić dzięki resamplingowi zbioru uczącego.

### 3) Wizualizacja

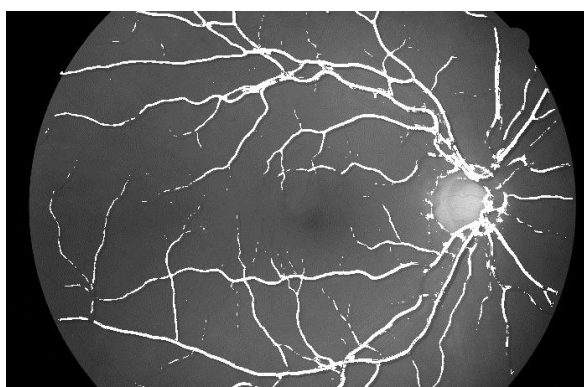
Zdjęcie 1 wraz z maską ekspercką – 07\_h.jpg:



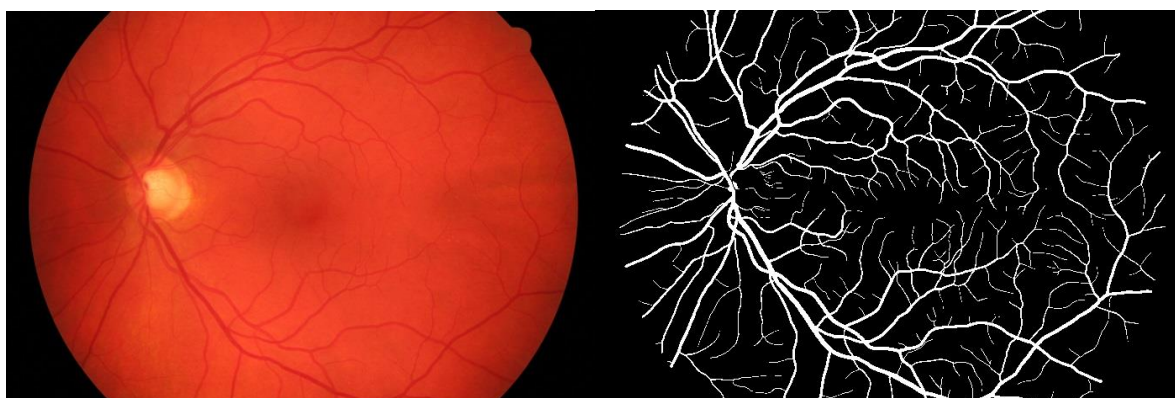
Wynikowe maski: przetwarzanie proste (Sobel) i za pomocą AI (las):



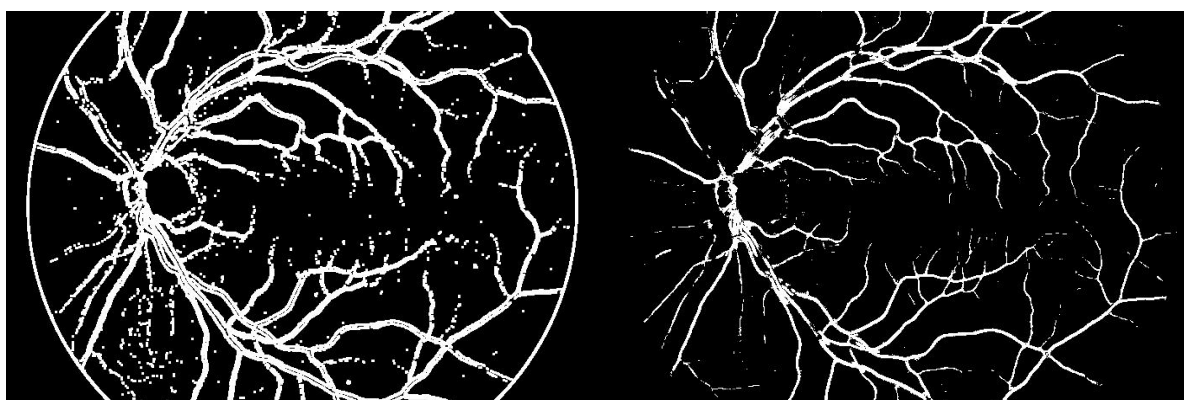
Wyjściowe zdjęcie (w skali szarości, z nałożoną maską AI)



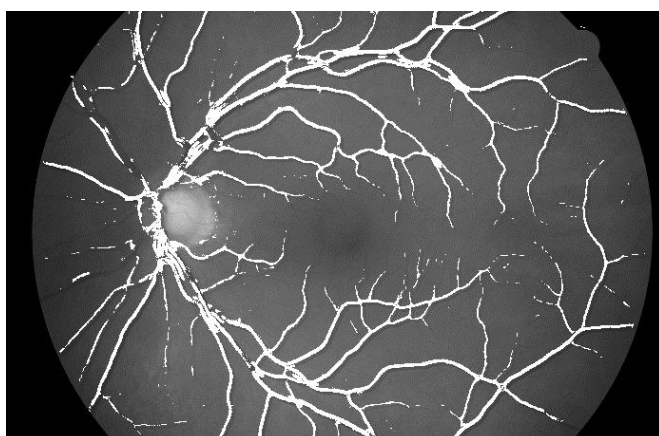
Zdjęcie nr. 2 – 08\_h.jpg



Maski: prosta i zaawansowana



Wyjściowe zdjęcie z nałożoną maską:

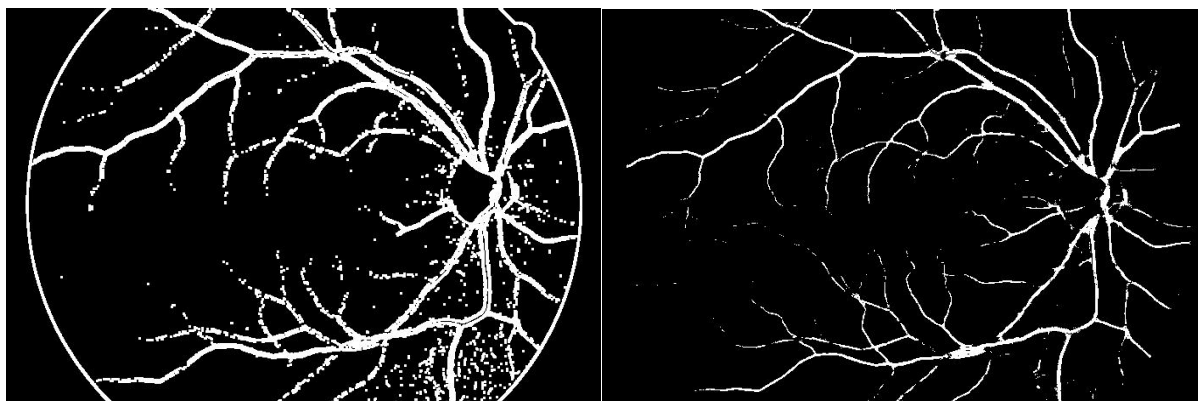


Zdjęcie 3: 09\_h.jpg

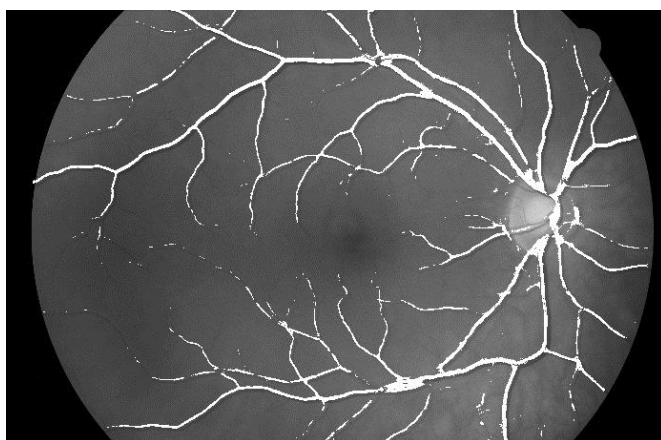
Zdjęcie wejściowe wraz z maską ekspercką



Maski:

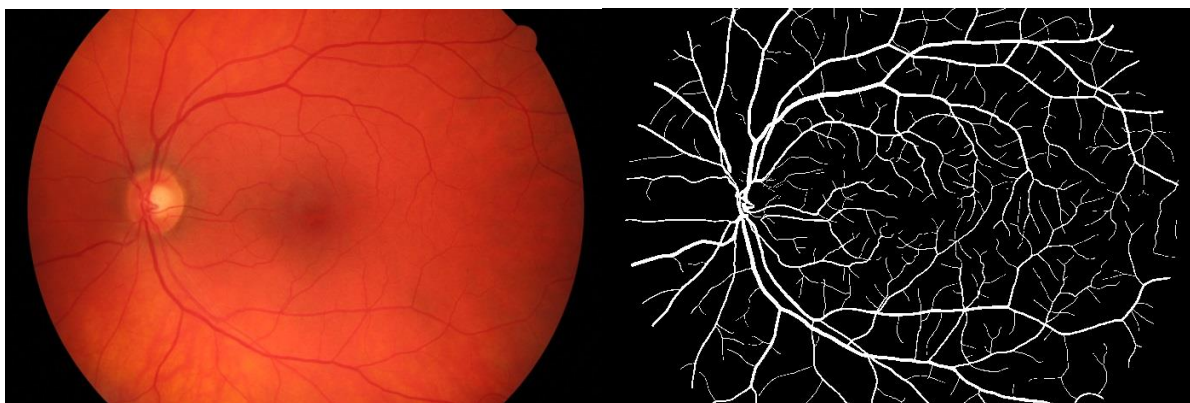


Zdjęcie wyjściowe:

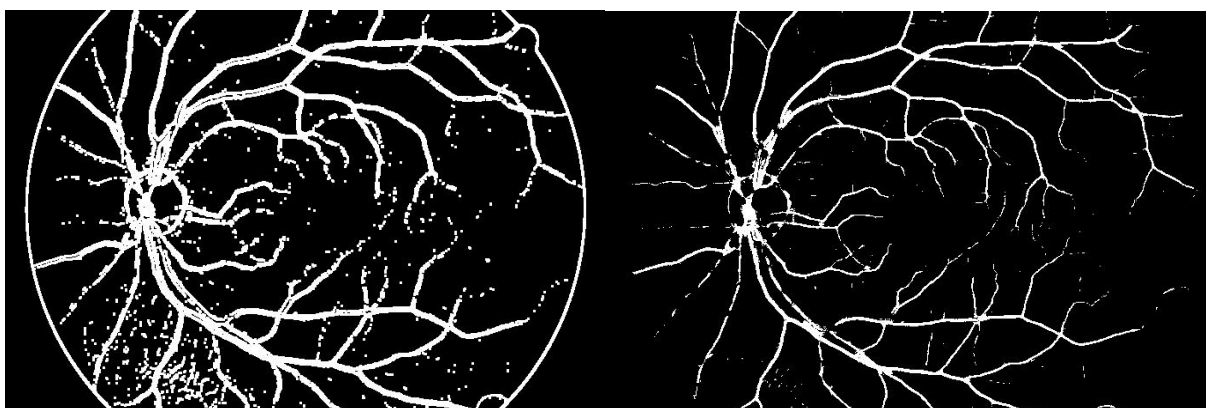




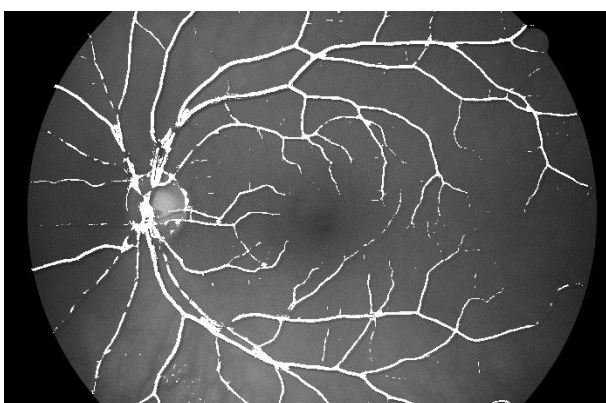
Zdjęcie 4: 10\_h.jpg



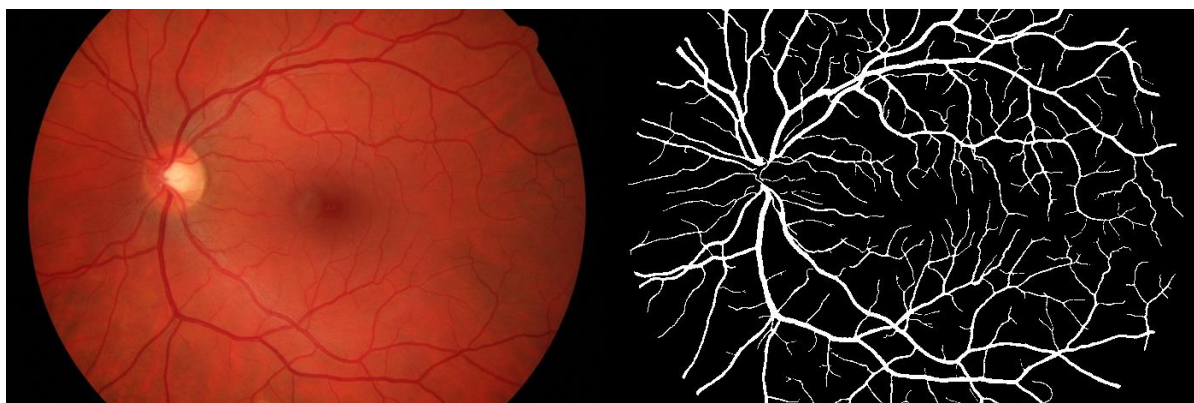
Maski:



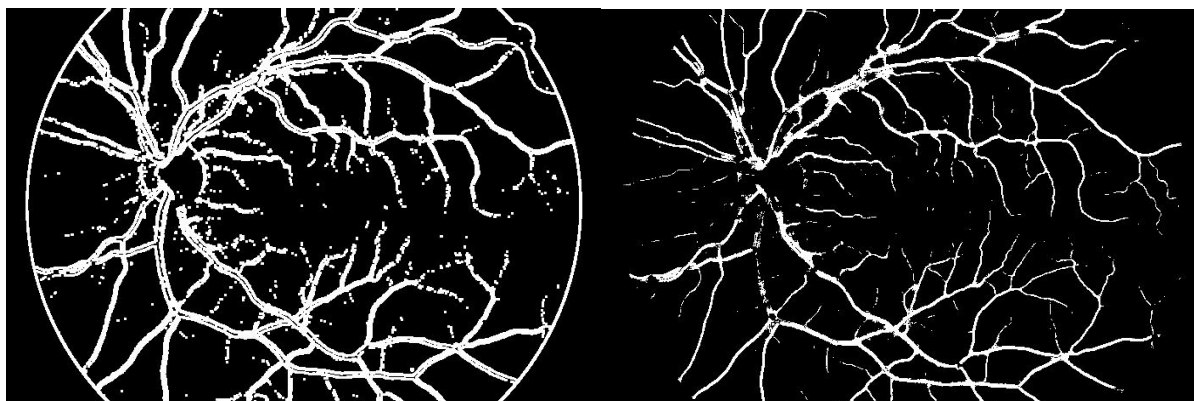
Wyjście:



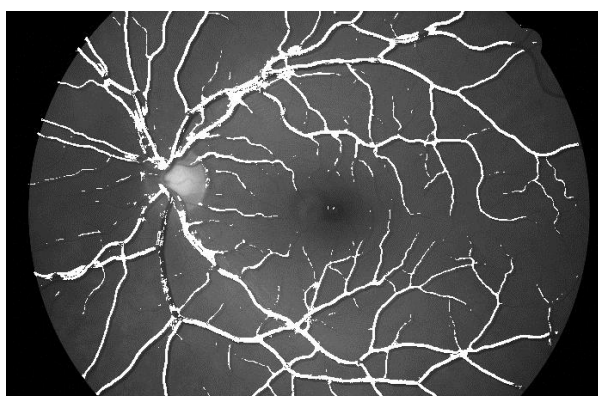
Zdjęcie 5: 12\_h.png



Maski:



Wyjście:



#### 4) Analiza statystyczna obrazów

##### Obraz 1:

###### Przetwarzanie obrazów:

Macierz pomyłek:

18421	30939
10033	255922

Specificity: 0.3731969205834684

Sensitivity: 0.962275572935271

Accuracy: 0.8700600986315272

###### Sztuczna inteligencja:

Macierz pomyłek:

20571	34521
3310	256913

Specificity: 0.3097990311285913

Sensitivity: 0.9253054682034598

Accuracy: 0.8846074560360274

##### Obraz 2:

###### Przetwarzanie obrazów:

Macierz pomyłek:

20571	34521
3310	256913

Specificity: 0.37339359616641254

Sensitivity: 0.9872801404948832

Accuracy: 0.8800215657358514

###### Sztuczna inteligencja:

Macierz pomyłek:

7774	24305
16107	267129

Specificity: 0.24233922503818697

Sensitivity: 0.9431322289539465



Accuracy: 0.871836100407529

### **Obraz 3:**

#### **Przetwarzanie obrazów:**

Macierz pomyłek:

13192	27145
2584	272394

Specificity: 0.3270446488335771

Sensitivity: 0.9906028845944039

Accuracy: 0.9057165057165057

#### **Sztuczna inteligencja:**

Macierz pomyłek:

4918	20363
10858	279176

Specificity: 0.19453344408844586

Sensitivity: 0.9625630098540171

Accuracy: 0.9009847295561582

### **Obraz 4:**

#### **Przetwarzanie obrazów:**

Macierz pomyłek:

17908	32899
2233	262275

Specificity: 0.35247111618477767

Sensitivity: 0.991557911291908

Accuracy: 0.8885812600098314

#### **Sztuczna inteligencja:**

Macierz pomyłek:

6045	21596
14096	273578

Specificity: 0.2186968633551608

Sensitivity: 0.951000090380083

Accuracy: 0.8868052582338296

#### Obraz 5:

##### Przetwarzanie obrazów:

Macierz pomyłek:

23003	33044
10746	248522

Specificity: 0.410423394650918

Sensitivity: 0.9585525402286437

Accuracy: 0.8611230039801469

##### Sztuczna inteligencja:

Macierz pomyłek:

8910	17033
24839	264533

Specificity: 0.34344524534556525

Sensitivity: 0.9141623930442475

Accuracy: 0.8672058100629529

#### Wnioski:

Pierwszą rzucającą się w oczy różnicą pomiędzy wynikami prezentowanych algorytmów jest podejście do klasyfikacji pikseli – przez zastosowanie erozji i dylatacji algorytm oparty o filtr Sobela nabrał skłonności do klasyfikacji do klasy pozytywnej częściej - stąd wyniki zwracane przez tą metodą charakteryzują się wyższym wskaźnikiem parametru *false positive* (120-200% wyższy niż w przypadku wyników zwróconych przez AI). Średnia trafność oscyluje w okolicach 88%, co daje całkiem wysoką poprawność algorytmu, mimo prostoty zastosowanej metody maska pokrywa zdecydowaną większość naczyń obecnych na zdjęciu. Algorytm oparty na lesie losowym zwrócił podobne wyniki co do trafności (również ok. 88%), jednakże zwracane wyniki wskazują na większą „ostrożność” tej metody w klasyfikacji pikseli. Niższy wskaźnik *false positive* i większy *false negative* oznaczają, że program woli być bardziej *pewny* w swoich decyzjach aniżeli klasyfikować nieco bardziej na wyrost.

Oba algorytmy zwróciły dla wszystkich testowanych instancji wyniki o podobnej jakości (trafność z przedziału [86;91]%), różniące się jedynie *czułością* i *swoistością*. Niskie wartości swoistości nie wynikają z jakości algorytmów, raczej z dysproporcji między ilością pikseli o klasie negatywnej a pozytywnej (niewielka część pikseli negatywnych zaklasyfikowanych jako pozytywne może przewyższyć ilość pikseli pozytywnych, co znacznie wpłynie na wartość).